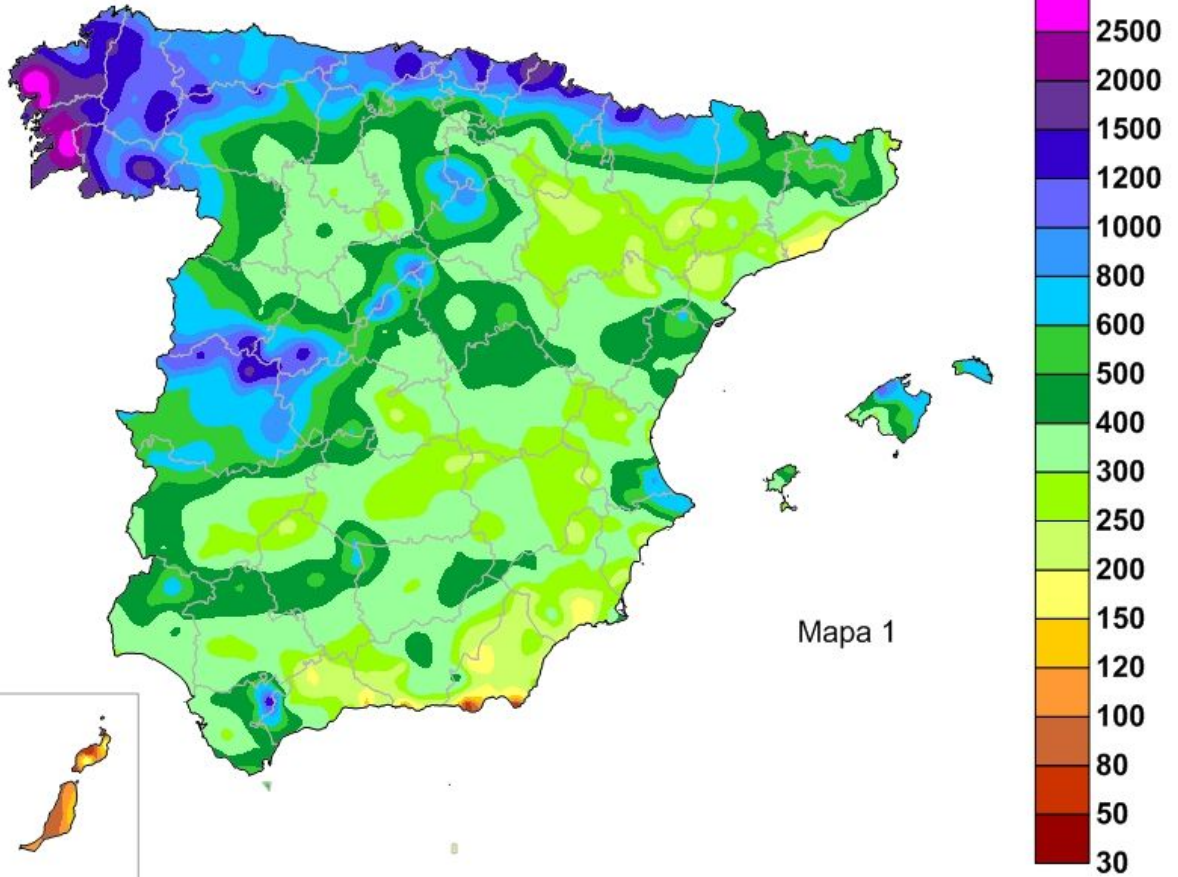


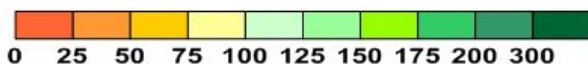
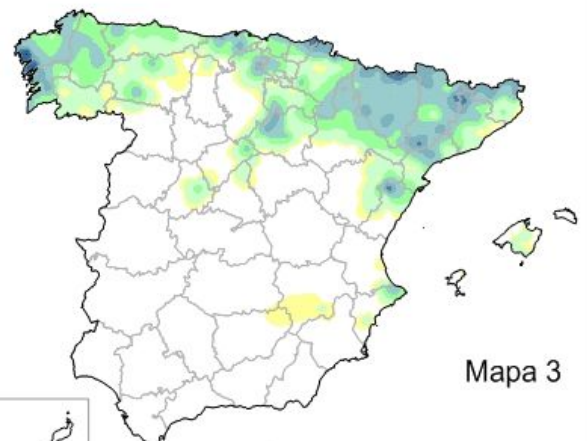
# BALANCE HÍDRICO NACIONAL

PRECIPITACIÓN ACUMULADA (mm) DESDE EL 1 DE SEPTIEMBRE



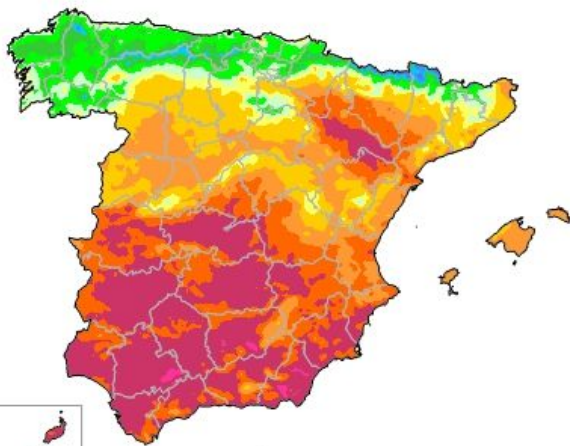
PORCENTAJE DE LA PRECIPITACIÓN ACUMULADA DESDE EL 1 DE SEPTIEMBRE SOBRE LA NORMAL

PRECIPITACIÓN ACUMULADA (mm) EN LA DECENA

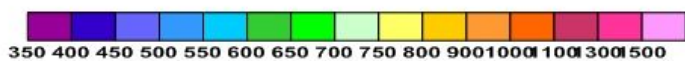


ETo ACUMULADA (mm) DESDE EL 1 DE SEPT.

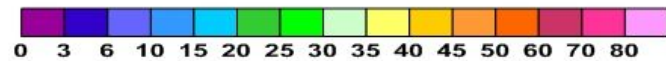
ETo ACUMULADA (mm) EN LA DECENA



Mapa 4



Mapa 5

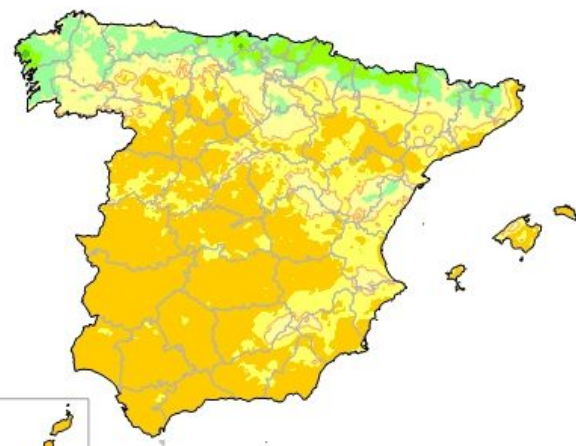
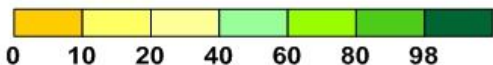


%HUMEDAD DEL SUELO SOBRE UNA CAPACIDAD:25mm

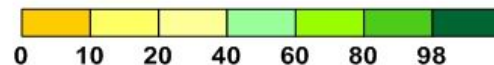
%HUMEDAD DEL SUELO SOBRE LA CAPACIDAD MÁXIMA



Mapa 6



Mapa 7

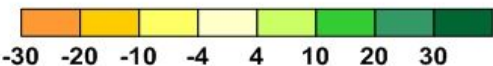


VARIACIÓN DECENAL %HUMEDAD DEL SUELO (CAPACIDAD MÁX.)

SITUACIÓN EMBALSES

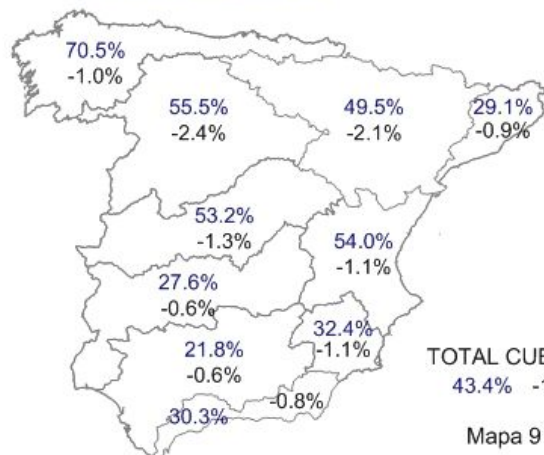


Mapa 8



Fuente : Dirección General del Agua  
Agrupación de Cuencas: AEMET

25/JULIO/2023



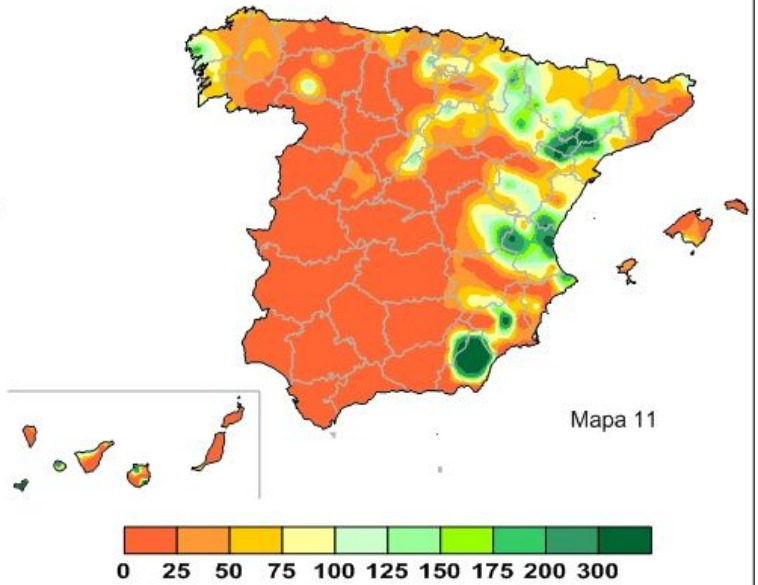
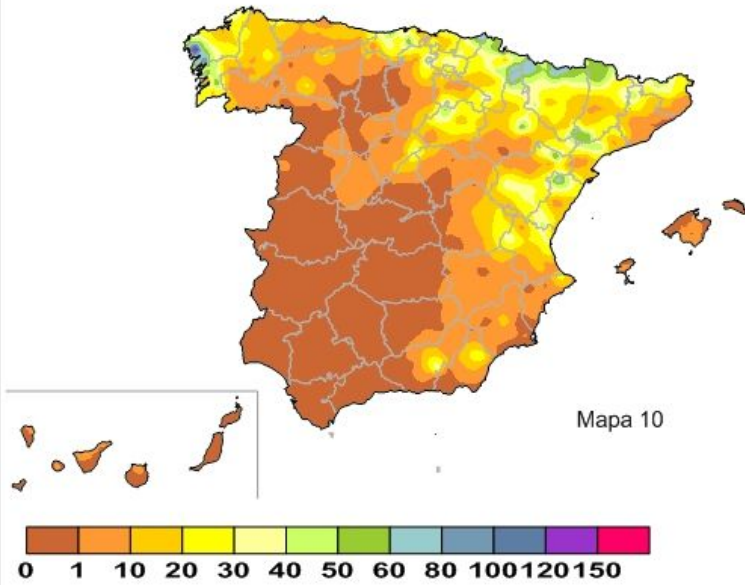
TOTAL CUENCAS:  
43.4% -1.3%

Mapa 9

% AGUA EMBALSADA / CAPACIDAD DE LA CUENCA  
VARIACIÓN SEMANAL DEL ÍNDICE ANTERIOR

PRECIPITACIÓN ACUMULADA(mm) EN JULIO DE 2023

PORCENTAJE DE LA PREC./NORMAL EN JULIO DE 2023



ESTACIÓN	P.D.	P.A.	% P.A.	%SAT.	ETo D.
1387 A CORUÑA	9.4	955.9	98	13.6	41.8
1387E A CORUÑA/ALVEDRO	2.7	908	88.9	23.2	39.1
1505 LUGO/ROZAS	10.2	1185.8	114.4	41.1	40.5
1212E ASTURIAS/AVILÉS	5.8	811.1	79.3	26.2	40.1
1208H GJÓN, MUSEL	6.3	828.8	89.3	25.5	45.1
1249I OVIEDO	4.6	769.8	79.4	35.8	38.8
1109 SANTANDER/PARAYAS	12	1128.2	101.7	46.7	40
1111 SANTANDER I,CMT	13.6	1059.7	108	28.8	43.1
1082 BILBAO/AEROPUERTO	6.5	986.9	89.7	46.9	39.9
1024E SAN SEBASTIÁN,IGUELDO	25.8	1371	94.1	64.3	39
1014 HONDARRIBIA-MALKARROA	51.2	1694.5	107.4	77.4	39.3
1428 SANTIAGO DE COMPOSTEL.	10.4	1788.9	111	47.5	36.4
1484C PONTEVEDRA	17.8	1895.8	124.1	42.8	43
1495 VIGO/PEINADOR	13.6	2229.6	135.6	47.8	42.4
1690A OURENSE	1.2	1052.3	132.3	23.4	48.2
1549 PONFERRADA	3	637.6	103.5	9.8	56.7
2661 LEÓN/VIRGEN DEL CAMINO	0	424.1	89.4	8.5	58.3
2331 BURGOS/VILLAFRÍA	0	420.3	80	20.4	58.3
90910 FORONDA-TXOKIZA	12	456.2	63.4	37.2	41.9
9170 LOGROÑO/AGONCILLO	0.3	333.5	81.1	14.7	58.6
9263D PAMPLONA/NOAIN	0.6	562.8	84.1	24.3	49.2
9898 HUESCA/PIRINEOS	10.2	352.4	77.9	8.5	69.9
2614 ZAMORA	0	410.8	108.8	6.2	69.4
2539 VALLADOLID/VILLANUBLA	0	365.7	89.6	7.1	67
2422 VALLADOLID	0	407.6	97.2	4.7	67.3
2030 SORIA	0.4	580	114.3	35.3	57.3
9390 DAROCA I	0	300.9	80.9	13.1	65.9
9434 ZARAGOZA/AEROPUERTO	5.8	223	72.3	8.9	77.4
9771C LLEIDA	12.8	214.9	64.1	9.2	70.8
0016A REUS/AEROPUERTO	11.3	389.8	89	8	60
0076 BARCELONA/AEROPUERTO	1.1	192.4	37.4	1.9	58
0367 GIRONA/COSTA BRAVA	7.7	424.5	65	13.8	60.4
2867 SALAMANCA/MATACAN	0	391.4	114.5	5.5	61.9
2444 ÁVILA	7.8	415.2	109.3	8.6	66.9
2465 SEGOVIA	0.2	475.6	106.1	9.3	69.1
2462 NAVACERRADA,PUERTO	0	1139.8	91.4	22.7	56.7
3191E COLMENAR VIEJO/FAMET	0	503.6	95.3	5.4	74.6
3129 MADRID/BARAJAS	0	395.4	109.2	4.9	80.4
3195 MADRID,RETIRO	0	407.2	100.6	4.2	79.3
3196 MADRID/CUATRO VIENTOS	0	332.7	83.2	4.4	78.4
3200 MADRID/GETAFE	0	340.8	98	3	82.7
3168D GUADALAJARA	0	440.6	106.9	6.1	77.5
8096 CUENCA	0	425.2	90.4	10.1	70.3
3013 MOLINA DE ARAGÓN	0	348.6	81.4	13.6	63.7
8368U TERUEL	0	379.2	115.9	18.2	70.8

ESTACIÓN	P.D.	P.A.	% P.A.	%SAT.	ETo D.
9981A TORTOSA	4.4	324.2	67	11.5	69.4
3469A CÁCERES	0	587.2	112.6	4.9	79
3260B TOLEDO	0	287.2	88.3	3.9	85
8178D ALBACETE,OBS.	0	288.5	83.6	5.2	80.7
8175 ALBACETE/LOS LLANOS	0	295.2	86.8	6	81
8414A VALENCIA/AEROPUERTO	0.3	397.4	97.9	12.1	63.8
8416Y VALENCIA II	0.1	243.2	58.6	8.7	63.2
8500A CASTELLÓN-ALMAZORA	0	441	106.4	18.5	60.5
B228 PALMA DE MALLORCA, CMT	0	314.5	70.7	9.6	58.4
B278 PALMA DE MALLORCA/SO.	2.2	306.5	75.9	7.3	61.2
B893 MENORCA/MAÓ	0	737.2	137.5	2.8	60.9
4452 BADAJOZ/TALAVERA LA R.	0	433.8	102.8	0.9	74.7
4121 CIUDAD REAL	0	272.8	68.6	5.2	88.8
8025 ALICANTE	0	196.4	73.4	6.5	62.7
8019 ALICANTE/EL ALTET	0.1	329.6	126.5	11.8	61.2
B954 IBIZA/ES CODOLA	0	330.1	86.3	5.6	53.9
4642E HUELVA, RONDA ESTE	0	371.6	74.1	2.1	78.1
5783 SEVILLA/SAN PABLO	0	309.8	62	1.7	77.3
5796 MORÓN DE LA FRONTERA	0	295.4	57.8	2	76.9
5402 CÓRDOBA/AEROPUERTO	0	454.5	80.7	3.1	83
5270B JAÉN	0	302	63.1	5.4	82.8
5530E GRANADA/AEROPUERTO	0	274.2	75.4	6.9	75.4
7228 MURCIA/ALCANTARILLA	0	276	99.1	6.4	68.4
7178I MURCIA	0	276	102.5	5	70.3
7031 MURCIA/SAN JAVIER	0	265.9	91.2	5.8	64.4
5960 JEREZ DE LA FRONTERA/.	0	411	75.8	3.9	66.1
5973 CÁDIZ,OBS.	0	363.7	70.2	1.1	58.3
6155A MÁLAGA/AEROPUERTO	0	298.2	58.7	4.3	75.2
63250 ALMERÍA/AEROPUERTO	0	196	100.9	2.5	63.1
C929I HIERRO/AEROPUERTO	0	184.9	109.4	1.7	54
C139E LA PALMA/AEROPUERTO	0	428.5	135	5.1	50.5
C329B LA GOMERA/AEROPUERTO	0	69	43.7	0.7	56.7
C430E IZAÑA	0	208.8	67.1	1.3	71.4
C447A TENERIFE/LOS RODEOS	0	448.5	88.2	1.4	49.8
C449C STA.CRUIZ DE TENERIFE	0	230	112	0.7	64.9
C429I TENERIFE/SUR	0	205.8	175.3	0.5	67.7
C649I GRAN CANARIA/AEROPUER.	0	221.9	169.9	0.4	67.8
C249I FUERTEVENTURA/AEROPUE.	0	142.1	170.3	0.8	59.5
C0290 LANZAROTE/AEROPUERTO	0	102.1	103	0.6	63
5000C CEUTA	0	591.8	80.5	8.9	64.9
6000A MELILLA	0	204.2	55.8	2	76

## **NOTAS** sobre el Balance Hídrico Nacional

### Elaboración

Este Boletín, que aparece cada diez días o el último día del mes, contiene una serie de mapas en los que se muestra la distribución geográfica, en el ámbito de la España peninsular, Baleares y Canarias, de los distintos parámetros –precipitación, evapotranspiración y reserva de humedad del suelo- que configuran el Balance Hídrico cuya evaluación se efectúa diariamente en el Servicio de Aplicaciones Agrícolas e Hidrológicas de la AEMET. Con referencia a la metodología seguida para ello, cabe destacar las siguientes características:

Los datos de entrada del Balance son: los análisis en rejilla del modelo numérico de predicción meteorológica de AEMET con resolución 0,05°, los datos puntuales de la red sinóptica de España, Portugal, sur de Francia y norte de África, así como la información de las estaciones automáticas que en tiempo real envían sus datos a la Base de Datos de AEMET.

La evapotranspiración de referencia (ET<sub>o</sub>) se estima mediante el método de Penman-Monteith, siguiendo las recomendaciones del documento F.A.O. 56 (1998).

El valor máximo de la reserva del suelo (R máx), como Agua Disponible Total máxima para las plantas (ADT Capacidad de campo - Punto de marchitez), se ha estimado en cada lugar en función de la textura y tipo de suelo, pendiente del terreno, y profundidad de las raíces según usos del suelo CORINE 2006.

El proceso de transferencia de humedad del suelo a la atmósfera se parametriza suponiendo un proceso de extracción exponencial, calculando diariamente la reserva a partir de la reserva precedente, la ET<sub>o</sub> y la precipitación. Se calcula la reserva de humedad del suelo tanto para la R máx (ADT máx) correspondiente a la profundidad de las raíces estimada en cada lugar, como para una capa superficial correspondiente a un ADT de 25 mm, que para un suelo franco medio podría suponer los 20 a 25 primeros cm de suelo.

El Balance Hídrico está soportado por un Sistema de Información Geográfica (GIS), y tanto los productos que se muestran en este boletín, como productos con otro tipo de intervalo de tiempo, están disponibles en diferentes formatos. Los mapas se generan en el Sistema de Referencia Geodésico ETRS89 con proyección cartográfica UTM huso 30 (Canarias huso 28). Los datos empleados en la elaboración del Balance Hídrico son en su mayoría datos provisionales y están sujetos a una posterior validación.

### Mapas

Los parámetros cuya distribución se muestra en los distintos mapas incluidos en este Boletín son los siguientes:

Mapa 1 : Precipitación acumulada desde el 1 de septiembre hasta la fecha.

Mapa 2 : Porcentaje que representa la precipitación acumulada desde el 1 de septiembre hasta la fecha sobre el valor normal correspondiente (calculado con referencia al periodo 1981 – 2010).

Mapa 3 : Precipitación acumulada durante la decena que finaliza en la fecha de referencia.

Mapa 4 : Evapotranspiración de referencia (ET<sub>o</sub>) acumulada desde el 1 de septiembre hasta la fecha.

Mapa 5 : Evapotranspiración de referencia (ET<sub>o</sub>) acumulada durante la decena que finaliza en la fecha de referencia.

Mapa 6 : Porcentaje de humedad del suelo (Agua Disponible) de la capa superficial, respecto a un ADT de 25 mm, en la fecha de referencia.

Mapa 7 : Porcentaje de humedad del suelo (Agua Disponible) de la capa total, respecto a un ADT máx (R máx), en la fecha de referencia.

Mapa 8 : Variación experimentada durante la última decena por el parámetro correspondiente al mapa anterior.

Mapa 9 : Porcentaje que representa el volumen de agua embalsada sobre la capacidad total y variación semanal experimentada por dicho índice, agrupado en grandes cuencas hidrográficas peninsulares así como en el conjunto de las mismas.

Mapas 10 y 11 : El contenido de estos mapas es variable, representándose la temperatura y la humedad relativa media en las dos primeras decenas del mes, y en el boletín del último día del mes, la precipitación mensual y su porcentaje respecto de los valores normales (en el periodo 1981 a 2010) en el mes que acaba de finalizar.

### Tabla de datos por estación meteorológica

En la columna 'Estación' figuran los indicativos climatológicos y los nombres de las estaciones respectivas.

En la columna 'P.D.' figuran las cantidades de precipitación (en mm) acumuladas durante la última decena en las respectivas estaciones meteorológicas.

En la columna '% P.A.' figuran los porcentajes que representan las cantidades de precipitación acumuladas desde el 1 de septiembre hasta la fecha sobre los valores normales respectivos (referidos al periodo 1981-2010).

En la columna '%SAT.' figuran los porcentajes que representan las cantidades de reserva de humedad del suelo como Agua Disponible en la fecha de referencia sobre el ADT máx (R máx) en el píxel donde se localiza cada estación.

En la columna 'ET<sub>o</sub>D.' Figuran las cantidades de ET<sub>o</sub> (mm) acumuladas durante la última decena en el píxel donde se localiza cada estación.

© AEMET: Autorizado el uso de la información y su reproducción citando AEMET como autora de la misma

Ministerio para la Transición Ecológica y el Reto Demográfico  
Agencia Estatal de Meteorología  
Área de Climatología y Aplicaciones Operativas

C/ Leonardo Prieto Castro, 8  
Ciudad Universitaria  
28040 Madrid  
<http://www.aemet.es>